

## II-23 自動水位制御装置の制御機構に関する研究

広島大学工学部  
岡山大学工学部  
鹿児島県立  
正員 金丸昭治  
名合宏元  
○宇都博美

### まえがき

流量変動をともなう比較的小規模な用水路から、所定の流量を適確に取水するためには、流量変動にガサガラす。水路内の水位を一定に保つことが望ましい。本研究は、このような目的のために開発されているフロートを利用した自動水位制御装置の制御機構について理論的かつ実験的に検討を加えたものである。

### 1. 自動水位制御装置の概要

#### 1.1 構造概要

本研究で対象とする自動水位制御装置の構造概要是図1に示される通りである。この図において、Aは水路、Bは静水槽、Cはフロート室、Dはラジアルゲート、Eは回転軸、Fは対重、Gは越流せき、Hは流入孔、Iは流出孔、Jはフロート、Kは連結棒、Lは腕木である。

#### 1.2 水位制御機構の概要

流量 $Q_0$ に対してバランスした状態でのゲートの上流水位を $h_0$ とする。いま、流量 $Q_0$ から $Q_0$ に減少した場合、ゲート上流水位は $h_0$ から減少し、この影響でフロート室水位も減少し、フロートは下降してゲートの回転軸を回転させる。ゲートの下降により、上流水位は減少し、フロート室内に水が流入して再びゲートは均衡状態となる。同様に、流量が増した場合も、一旦ゲート上流水位は上昇するが、フロートの作動により、ゲートが開き、水位は減少していく。このように、上流水位は流動の変動に対しつねにとの水位の方向へとどるように制御される。

### 2. 制御機構のモデル化とその解析

#### 2.1 制御機構のモデル化

本装置の制御機構のモデル化は、装置内の流体運動およびそれにともなうゲートの運動を適切に表現することによる。ここで述べる。まず流体運動は以下のようの方程式系によって表現されるものとする。

連続方程式：

$$BL \frac{dh_1}{dt} = Q - Q' - Q_1 \quad (1)$$

$$A_2 \frac{dh_2}{dt} = Q_1 - Q_2 \quad (2)$$

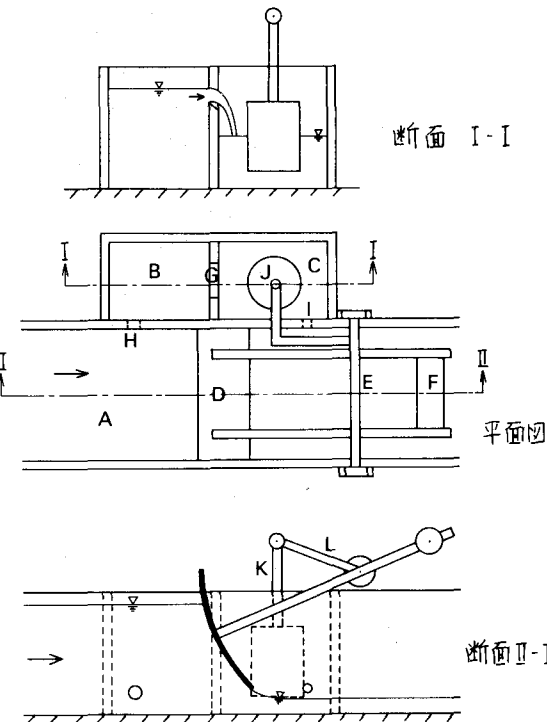


図1 自動水位制御装置

$$(A_3 - A_F) \frac{dh_3}{dt} + A_F \frac{dh_1}{dt} = Q_2 - Q_3 \quad (3)$$

運動方程式：

$$Q' = CBZ\sqrt{2g h} \quad (4)$$

$$Q_1 = \pm C_0 A_1 \sqrt{2g|h_1 - h_2|}, \begin{cases} h_1 \geq h_2 & + \\ h_1 < h_2 & - \end{cases} \quad (5)$$

$$Q_2 = \begin{cases} C_2 b (h_2 - W)^{\frac{3}{2}}, & (h_2 \geq W) \\ 0, & (h_2 < W) \end{cases} \quad (6)$$

$$Q_3 = \begin{cases} C_3 A_3 \sqrt{2g[h_3 - (C_0 Z - h_1)]}, & (Z \geq h_1) \\ C_3 A_3 \sqrt{2g h_3}, & (0 \leq Z < h_1) \end{cases} \quad (7)$$

これらの式中の記号の内容は以下のようにある。

$Q$ : ゲート上流部への流入流量,  $Q'$ : ゲートからの流出流量,  $Q$ : 流入孔流量,  $Q_2$ : 越流せき流量,  $Q_3$ : 流出孔流量,  $h_1$ : ゲート上流水位,  $h_2$ : 静水槽水位,  $h_3$ : フロート室水位,  $h$ : 水路底からフロート底面までの距離(図6),  $W$ : せき高,  $Z$ : ゲートの開き高,  $B$ : 水路幅,  $L$ : 水位が $h$ とある上流区間長,  $A_1$ : 静水槽面積,  $A_2$ : フロート室面積,  $A_F$ : フロート断面積,  $A_3$ : 流入孔断面積,  $A_4$ : 流出孔断面積,  $b$ : 越流せきの幅,  $C$ : ゲートの流量係数,  $C_0$ : 流入孔流量係数  $C_2$ : 越流せき流量係数,  $C_3$ : 流出孔流量係数,  $C_0$ : ゲートの縮流係数,  $h_1$ : 水路底から流出孔下縁までの距離

つぎに、ゲートの運動は慣性力および摩擦力を考慮して、次式のように表わされるものとする。

$$\frac{(m_1 r_1^2 + m_2 r_2^2)}{\sqrt{R^2 + 2k_z R Z - Z^2}} \left\{ \frac{dZ}{dt} - \frac{k_z R - Z}{k_z R^2 + 2k_z R Z - Z^2} \left( \frac{dZ}{dt} \right)^2 \right\} \\ = (F_g - m_1 g) r_1 \cos(\alpha_1 + \theta) + m_2 g r_2 \cos(\alpha_2 - \theta) \mp f_z R \quad (8)$$

ここに、 $m_1$ : フロートおよび連結構の質量,  $m_2$ : その他  
のゲート系全体の質量,  $r_1$ : 脱水の長さ,  $r_2$ : 回転軸から  
 $m_2$ の重心までの距離,  $F_g$ : 浮力,  $f_z$ : 水密ゴムに作用する  
摩擦力(水压に比例するものとする),  $R$ : 回転軸からゲー  
ト前面までの距離,  $\alpha_1$ : ゲートが完全に閉いた状態での脱  
水が水平となる角度,  $\alpha_2$ :  $m_2$ の重心と回転軸を結んだ線が  
水平となる角度(図4)である。また、 $\pm$ および $\mp$ は、 $\alpha_1$ お  
よび $\alpha_2$ によつて決まる定数であり、摩擦係数 $R$ の符号は、  
ゲートの上昇時には一、下降時には十をとる。さらに、ゲ  
ートの開き高が0に方た場合、静止摩擦力を考慮する。

## 2.2 解析結果

上述のモデルの妥当性は、それによつて表現される各水位あるいはゲートの開き高の変化が、現象を説明しうるものであるか否かによつて検討される。いま、モデルに含まれる諸式を整理すると、つきのような1階の連立  
微分方程式系が得られる。ここでは、この方程式系をRunge-Kutta-Gill法により数値的に解析する。

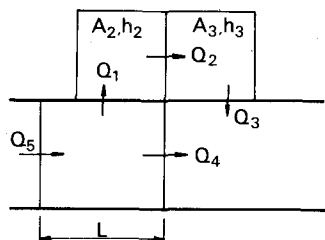


図2 装置内各部の流量

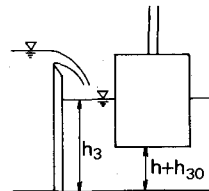


図3 フロート室水位

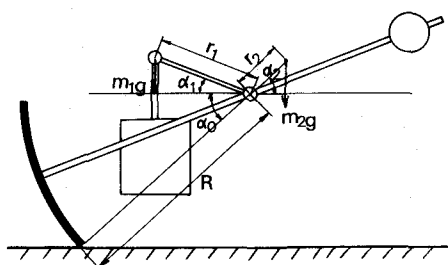


図4  $r_1, r_2, R, \alpha_1, \alpha_2, \theta$  の関係

$$\left. \begin{aligned} \frac{dh_1}{dt} &= F_1(h_1, h_2, Z) \\ \frac{dh_2}{dt} &= F_2(h_1, h_2) \\ \frac{dh_3}{dt} &= F_3(h_2, h_3, Z, Y) \\ \frac{dZ}{dt} &= Y \\ \frac{dY}{dt} &= F_4(h_1, h_3, Z, Y) \end{aligned} \right\} \quad (9)$$

また解析で用いた装置の構造諸元は実験に用いたものとほぼ同じであり、水理条件としてはつきの値を用いた。

$$Q = 15 \text{ l/sec}, C = 0.7, C_1 = 0.9, C_2 = 2.2 \text{ m}^3/\text{sec}, C_3 = 0.6, L = 45 \text{ m}$$

以上の値を用い、さらに初期条件として、

$$h_1 = 17.7 \text{ cm}, h_2 = 17.4 \text{ cm}, h_3 = 10.3 \text{ cm}, Z = 4.1 \text{ cm}, Y = 0$$

を与え、差分間隔 $\Delta t$ を0.1秒として計算した結果は図6に示されるところである。この結果と図5に示される実験結果と対比してみると、フロート室の水位変動量が大きいことを除けば、周期、各水位の位相のずれなどは、かなり一致している。したがって、本装置の制御機構のモデル化としては上述の手法がほぼ妥当であることがわかる。しかし、水理条件として与えた $L$ の値の決定については明確な根拠がなく、今後検討すべき課題のひとつである。本研究の実験に関しては、神田輝明氏（現在大林組）ならびに豊國工業K.K.の技術部の方々の御協力をえた。ここに深く感謝する次第である。

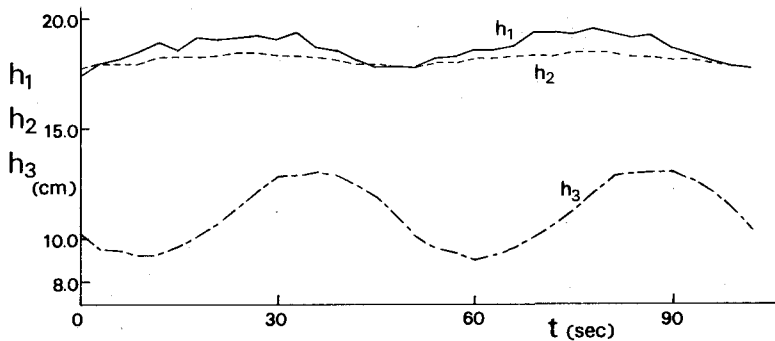


図5 水位変化曲線  
( $Q = 14.35 \text{ l/sec}$ )  
実験値

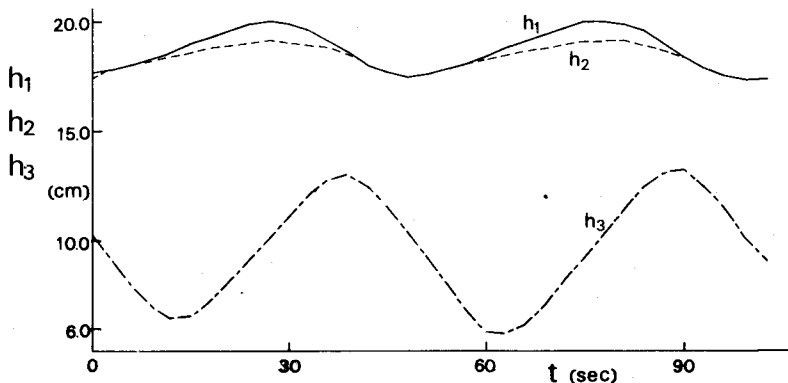


図6 水位変化曲線  
( $Q = 15 \text{ l/sec}$ )  
計算値